

# *ARMA modely* *časť 2: moving average modely (MA)*

Beáta Stehlíková

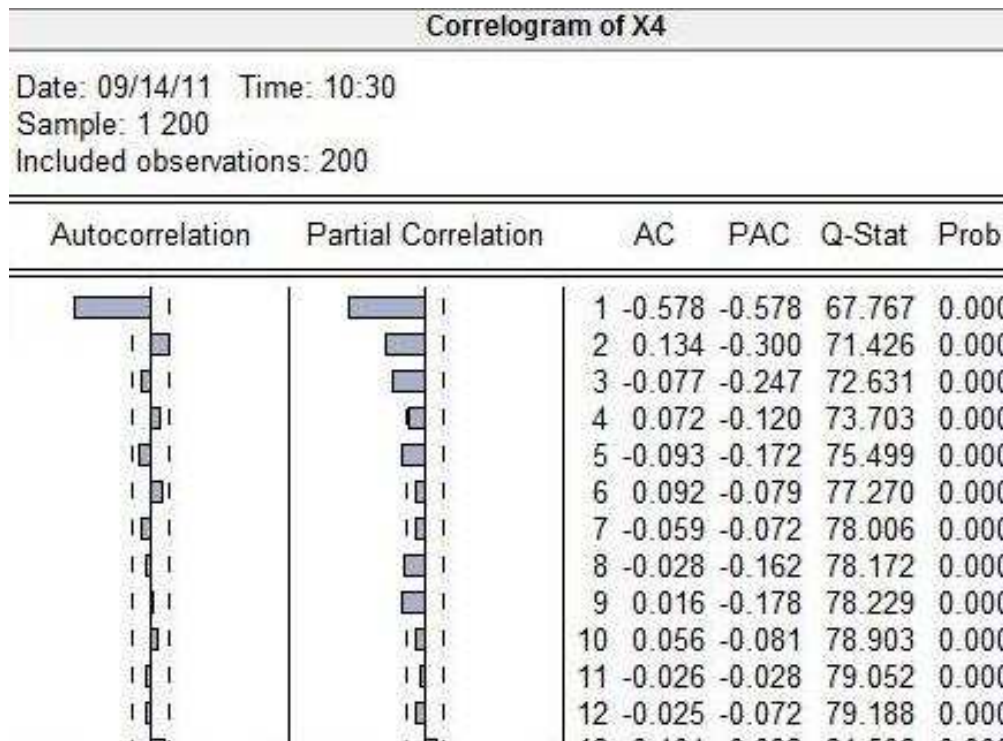
Časové rady, FMFI UK, 2011/2012

---

## V.

*Moving average proces prvého rádu - MA(1)*

# Simulované dáta z predchádzajúcej kap.



- AR( $p$ ) proces - ACF rýchlo klesá (monotónne alebo oscilujúco), PACF sa po  $p$  hodnotách rovná nule
- tu je to v podstate naopak → nebude to AR proces

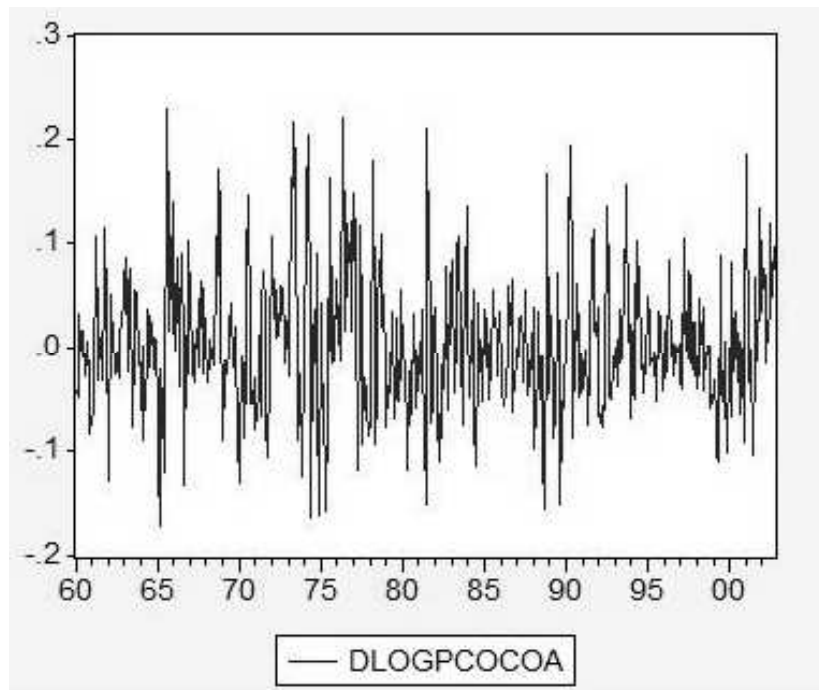
# Reálne dáta s podobnou ACF

---

Ben Vogelvang: **Econometrics. Theory and Applications with EViews.** Pearson Education Limited, 2005.

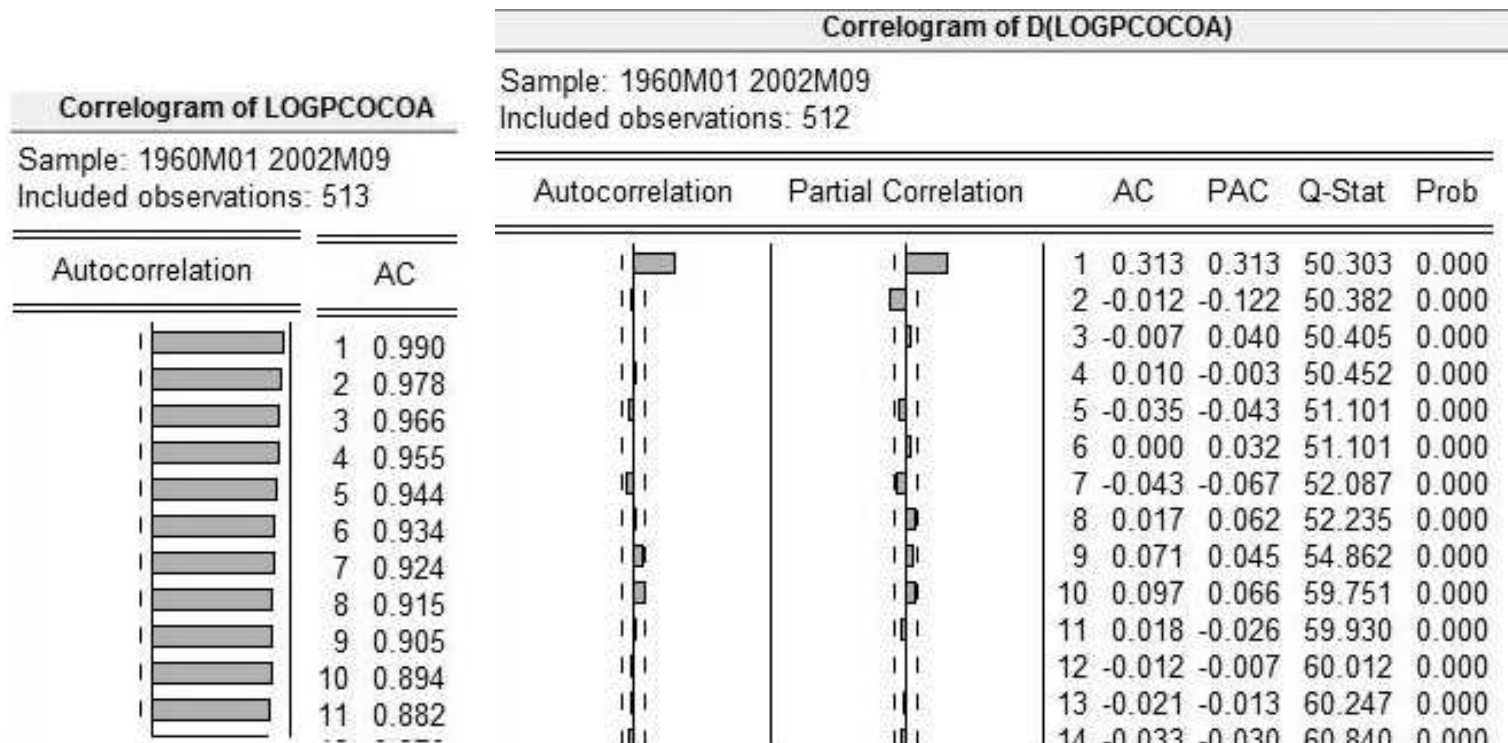
Chapter 14.7. - The Box-Jenkins Approach in Practice

- Mesačné dáta, január 1960 - september 2002
- $pcocoa_t$  - cena kaka, zlogaritmujeme a kvôli stacionarite budeme pracovať s diferenciami



# Reálne dáta - pokračovanie

- Odhadnutá ACF:



- Logaritmy - ACF klesá veľmi pomaly → typické pre dátu, ktoré treba zdiferencovať (presnejšie neskôr)
- Diferencie logaritmov - jedna výrazne nenulová autokorelácia, ostatné skoro nulové

# Príklad z prvej prednášky

---

- Nech  $u_t$  je biely šum, definujeme

$$x_t = u_t + u_{t-1}$$

- Vypočítali sme:

$$E[x_t] = 0, \quad Var[x_t] = 2\sigma^2$$

$$Cov[x_t, x_{t+\tau}] = \begin{cases} \sigma^2 & \text{pre } \tau = 1 \\ 0 & \text{pre } \tau = 2, 3, \dots \end{cases}$$

$$Cor[x_t, x_{t+\tau}] = \begin{cases} 1/2 & \text{pre } \tau = 1 \\ 0 & \text{pre } \tau = 2, 3, \dots \end{cases}$$

- ACF je nulová pre  $\tau = 2, 3, \dots$  - presne tá vlastnosť, ktorú potrebujeme

# Zovšeobecnenie - MA(1) proces

---

- Nech  $u_t$  je biely šum, potom

$$x_t = \mu + u_t - \beta u_{t-1}$$

sa nazýva moving average proces prvého rádu - MA(1)

- Woldova reprezentácia:  $x_t = \mu + \sum_{j=0}^{\infty} \psi_j u_{t-j}$   
MA(1) proces:  $\psi_0 = 1, \psi_1 = -\beta, \psi_j = 0$  pre  $j = 2, 3, \dots$
- Momenty a ACF:

$$E[x_t] = \mu, \quad Var[x_t] = (1 + \beta^2)\sigma^2$$

$$Cov[x_t, x_{t+\tau}] = \begin{cases} -\beta\sigma^2 & \text{pre } \tau = 1 \\ 0 & \text{pre } \tau = 2, 3, \dots \end{cases}$$

$$Cor[x_t, x_{t+\tau}] = \begin{cases} -\frac{\beta}{1+\beta^2} & \text{pre } \tau = 1 \\ 0 & \text{pre } \tau = 2, 3, \dots \end{cases}$$

# MA(1) proces - príklady

1. Nech  $u_t$  je biely šum s rozdelením  $N(0, 4)$ , definujme

$$x_t = u_t + \frac{1}{2}u_{t-1}$$

Potom:  $E[x_t] = 0$ ,  $Var[x_t] = (1 + (1/2)^2) \times 4 = 5$

$$Cor[x_t, x_{t+\tau}] = \begin{cases} \frac{1/2}{1+1/4} = 2/5 & \text{pre } \tau = 1 \\ 0 & \text{pre } \tau = 2, 3, \dots \end{cases}$$

2. Nech  $u_t$  je biely šum s rozdelením  $N(0, 1)$ , definujme

$$y_t = u_t + 2u_{t-1}$$

Potom:  $E[y_t] = 0$ ,  $Var[y_t] = (1 + 4) \times 1 = 5$

$$Cor[y_t, y_{t+\tau}] = \begin{cases} \frac{2}{1+4} = 2/5 & \text{pre } \tau = 1 \\ 0 & \text{pre } \tau = 2, 3, \dots \end{cases}$$

Procesy  $x_t$  a  $y_t$  majú rovnakú ACF  $\rightarrow$  nedajú sa rozlíšiť

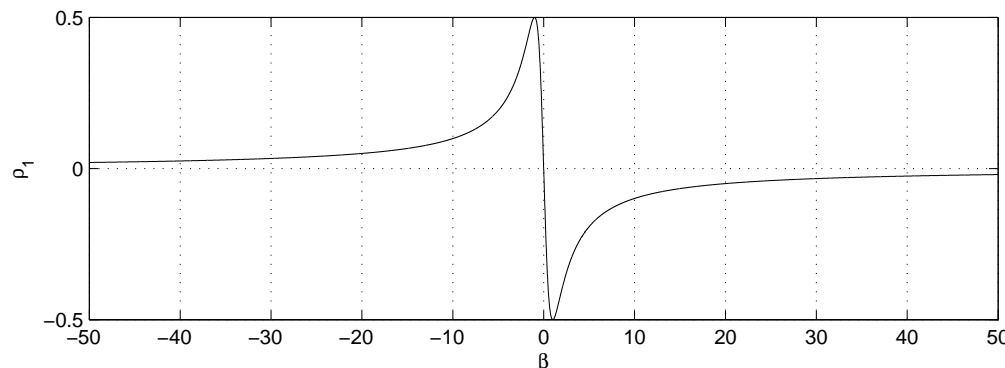
# $MA(1)$ proces - zovšeobecnenie príkladu

- Majme  $MA(1)$  proces, t.j. ACF tvaru

$$Cor[x_t, x_{t+\tau}] = \begin{cases} -\frac{\beta}{1+\beta^2} & \text{pre } \tau = 1 \\ 0 & \text{pre } \tau = 2, 3, \dots \end{cases}$$

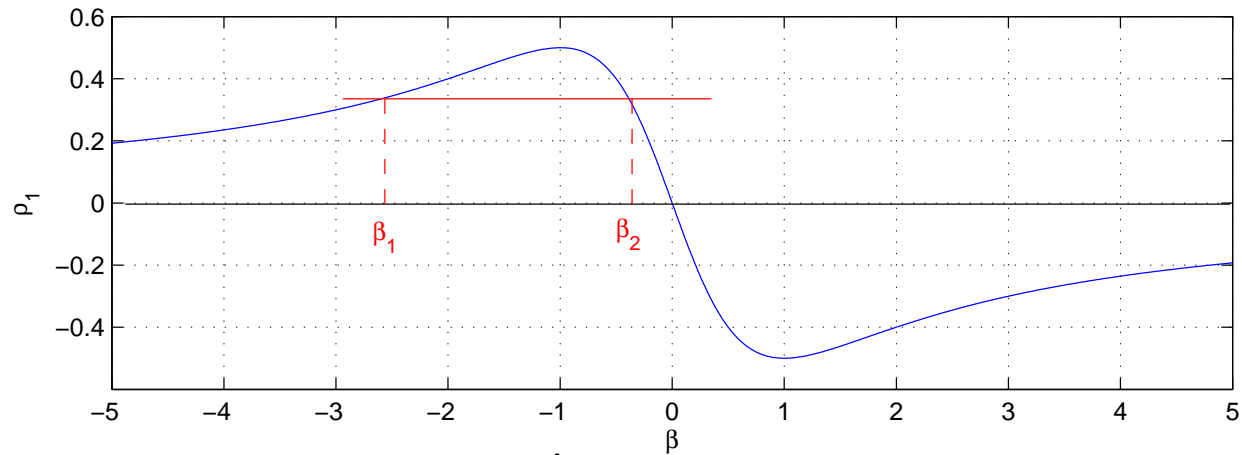
- Predpokladajme teraz, že máme danú hodnotu  $\rho_1 = \rho(1)$  a chceme z nej späťne určiť koeficient  $\beta$ , t.j.

$$\rho_1 = -\frac{\beta}{1 + \beta^2} \Rightarrow \beta = ?$$



# $MA(1)$ proces - zovšeobecnenie príkladu

- Máme teda rovnicu:  $\rho_1 = -\frac{\beta}{1+\beta^2} \Rightarrow \beta^2 + \frac{1}{\rho_1}\beta + 1 = 0$



→ dve riešenia  $\beta_1, \beta_2$ , splňajú  $\beta_1\beta_2 = 1$ .

- Procesy

$$x_t = \mu + u_t - \beta u_{t-1}, \quad x_t = \mu + u_t - \frac{1}{\beta} u_{t-1}$$

majú rovnakú ACF

- Ak chceme jednoznačnú parametrizáciu, potrebujeme dodat' d'alšiu podmienku.

# Invertovateľnosť procesu

---

- Budeme sa snažiť zapísat' proces v tvare AR( $\infty$ ):

$$x_t = \hat{\mu} + u_t + \psi_1 x_{t-1} + \psi_2 x_{t-2} + \psi_3 x_{t-3} + \dots$$

- ak sa to dá spravit', proces sa nazýva invertovateľný

- Pre MA(1) proces:

$$x_t = \mu + (1 - \beta L)u_t$$

$$(1 - \beta L)^{-1}x_t = (1 - \beta L)^{-1}\mu + u_t$$

$(1 - \beta L)^{-1}$  existuje pre  $|\beta| < 1$ , vtedy

$$(1 + \beta L + \beta^2 L^2 + \dots)x_t = \mu/(1 - \beta) + u_t$$

$$x_t + \beta x_{t-1} + \beta^2 x_{t-2} + \dots = \mu/(1 - \beta) + u_t$$

# *MA(1) - invertovateľnosť procesu*

---

- Dostali sme teda podmienku invertovateľnosti MA(1) procesu:  $|\beta| < 1$
- Iný zápis tejto podmienky:
  - ◊ máme proces  $x_t = \mu + (1 - \beta L)u_t$
  - ◊ koreň polynómu  $1 - \beta L$  je  $1/\beta$
  - ◊ podmienka invertovateľnosti teda hovorí, že koreň  $1 - \beta L = 0$  musí byť v absolútnej hodnote väčší ako 1, teda mimo jednotkového kruhu

# $MA(1)$ - výpočet PACF

---

- Pripomeňme si všeobecný vzorec;

$$(1) \quad \Phi_{kk} = \frac{\det \begin{pmatrix} 1 & \rho(1) & \dots & \rho(1) \\ \rho(1) & 1 & \dots & \rho(2) \\ \dots & \dots & & \\ \rho(k-1) & \rho(k-2) & \dots & \rho(k) \end{pmatrix}}{\det \begin{pmatrix} 1 & \rho(1) & \dots & \rho(k-1) \\ \rho(1) & 1 & \dots & \rho(k-2) \\ \dots & \dots & & \\ \rho(k-1) & \rho(k-2) & \dots & 1 \end{pmatrix}}$$

- Pre  $MA(1)$  proces je  $\rho(k) = 0$  pre  $k = 2, 3, \dots$

# $MA(1)$ - výpočet PACF

- PACF sa (na rozdiel od AR procesu) nevynuluje:

$$\Phi_{11} = \rho(1)$$

$$\Phi_{22} = \frac{\det \begin{pmatrix} 1 & \rho(1) \\ \rho(1) & \rho(2) \end{pmatrix}}{\det \begin{pmatrix} 1 & \rho(1) \\ \rho(1) & 1 \end{pmatrix}} = \frac{\det \begin{pmatrix} 1 & \rho(1) \\ \rho(1) & 0 \end{pmatrix}}{\det \begin{pmatrix} 1 & \rho(1) \\ \rho(1) & 1 \end{pmatrix}} = \frac{-\rho(1)^2}{1 - \rho(1)^2}$$

$$\Phi_{33} = \frac{\det \begin{pmatrix} 1 & \rho(1) & \rho(1) \\ \rho(1) & 1 & \rho(2) \\ \rho(2) & \rho(1) & \rho(3) \end{pmatrix}}{\det \begin{pmatrix} 1 & \rho(1) & \rho(2) \\ \rho(1) & 1 & \rho(1) \\ \rho(2) & \rho(1) & 1 \end{pmatrix}} = \frac{\det \begin{pmatrix} 1 & \rho(1) & \rho(1) \\ \rho(1) & 1 & 0 \\ 0 & \rho(1) & 0 \end{pmatrix}}{\det \begin{pmatrix} 1 & \rho(1) & 0 \\ \rho(1) & 1 & \rho(1) \\ 0 & \rho(1) & 1 \end{pmatrix}} = \frac{\rho(1)^3}{1 - 2\rho(1)^2}$$

$$\Phi_4 = \frac{-\rho(1)^4}{(1 - \rho(1)^2)^2 - \rho(1)^2}$$

...

# $MA(1)$ - výpočet PACF - príklad

- Pre proces  $x_t = u_t + \frac{1}{2}u_{t-1}$  sme vypočítali:  
 $\rho(1) = 2/5, \quad \rho(k) = 0 \ (k = 2, 3, \dots)$
- Počítajme teraz PACF:

$$\Phi_{11} = \rho(1) = 2/5$$

$$\Phi_{22} = \frac{\det \begin{pmatrix} 1 & \rho(1) \\ \rho(1) & \rho(2) \end{pmatrix}}{\det \begin{pmatrix} 1 & \rho(1) \\ \rho(1) & 1 \end{pmatrix}} = \frac{\det \begin{pmatrix} 1 & 2/5 \\ 2/5 & 0 \end{pmatrix}}{\det \begin{pmatrix} 1 & 2/5 \\ 2/5 & 1 \end{pmatrix}} = \frac{-4/25}{21/25} = -4/21$$

$$\Phi_{33} = \frac{\det \begin{pmatrix} 1 & \rho(1) & \rho(1) \\ \rho(1) & 1 & \rho(2) \\ \rho(2) & \rho(1) & \rho(3) \end{pmatrix}}{\det \begin{pmatrix} 1 & \rho(1) & \rho(2) \\ \rho(1) & 1 & \rho(1) \\ \rho(2) & \rho(1) & 1 \end{pmatrix}} = \frac{\det \begin{pmatrix} 1 & 2/5 & 2/5 \\ 2/5 & 1 & 0 \\ 0 & 2/5 & 0 \end{pmatrix}}{\det \begin{pmatrix} 1 & 2/5 & 0 \\ 2/5 & 1 & 2/5 \\ 0 & 2/5 & 1 \end{pmatrix}} = \frac{8/125}{17/25} = 8/85$$

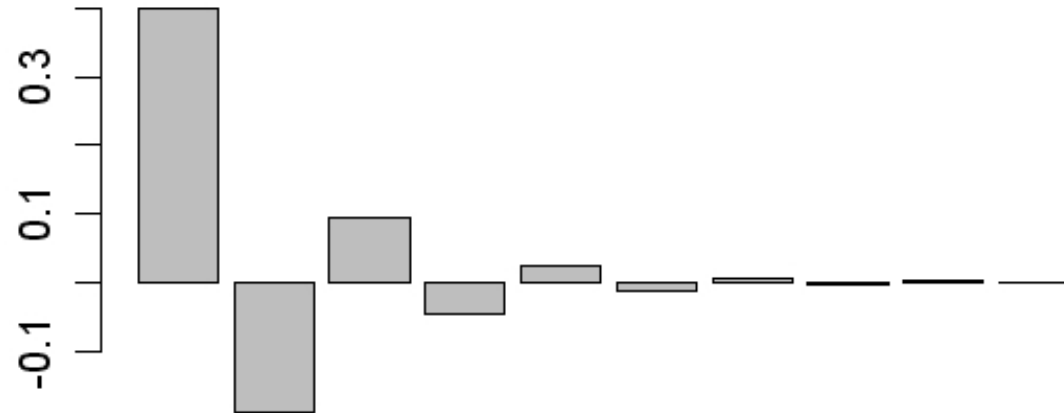
⋮

# $MA(1)$ - výpočet PACF - príklad

- Viac členov PACF v softvéri R:

```
R R Console
> ARMAacf(ma=0.5,lag.max=10,pacf=TRUE)
[1] 0.400000000 -0.190476190  0.094117647 -0.046920821  0.023443223
[6] -0.011719465  0.005859464 -0.002929699  0.001464845 -0.000732422
```

Vo forme grafu:



- Zopakujme si - pre  $MA(2)$  proces:
  - ◊ ACF: od druhej hodnoty nulová
  - ◊ PACF: nevynuluje sa

# Reálne dáta - ceny kakaa

---

- Dáta zo začiatku prednášky
- MA(1) model pre diferencie logaritmov cien:

Dependent Variable: D(LOG(PCOCOA))

Method: Least Squares

Date: 08/14/09 Time: 14:51

Sample (adjusted): 1960M02 2002M09

Included observations: 512 after adjustments

Convergence achieved after 6 iterations

MA Backcast: 1960M01

	Coefficient	Std. Error	t-Statistic	Prob.
C	0.002454	0.003738	0.656614	0.5117
MA(1)	0.352651	0.041550	8.487292	0.0000
R-squared	0.112273	Mean dependent var	0.002398	
Adjusted R-squared	0.110532	S.D. dependent var	0.066320	
S.E. of regression	0.062548	Akaike info criterion	-2.701880	
Sum squared resid	1.995221	Schwarz criterion	-2.685324	
Log likelihood	693.6813	Hannan-Quinn criter.	-2.695390	
F-statistic	64.50096	Durbin-Watson stat	1.987519	
Prob(F-statistic)	0.000000			
Inverted MA Roots	- .35			

# Reálne dáta - ceny kakaa

---

- Invertovateľnosť:

MA Root(s)	Modulus	Cycle
-0.352651	0.352651	

No root lies outside the unit circle.  
ARMA model is invertible.

- ACF rezíduí:

Correlogram of Residuals						
Sample: 1960M02 2002M09 Included observations: 512 Q-statistic probabilities adjusted for 1 ARMA term(s)						
Autocorrelation	Partial Correlation	AC	PAC	Q-Stat	Prob	
		1	0.003	0.003	0.0055	
		2	-0.008	-0.008	0.0371	0.847
		3	-0.014	-0.014	0.1382	0.933
		4	0.032	0.032	0.6730	0.880
		5	-0.057	-0.057	2.3587	0.670
		6	0.037	0.038	3.0731	0.689
		7	-0.062	-0.063	5.0529	0.537
		8	0.026	0.025	5.3941	0.612
		9	0.034	0.037	6.0032	0.647
		10	0.089	0.083	10.181	0.336
		11	-0.004	0.004	10.190	0.424
		12	-0.008	-0.015	10.224	0.510
		13	-0.015	-0.008	10.336	0.586
		14	-0.016	-0.024	10.471	0.655

---

## VI.

*Moving average proces q-teho rádu - MA(q)*

# $MA(q)$ proces - definícia a vlastnosti

---

- Nech  $u_t$  je biely šum, potom

$$x_t = \mu + u_t - \beta_1 u_{t-1} - \beta_2 u_{t-2} - \dots - \beta_q u_{t-q}$$

sa nazýva moving average proces  $q$ -teho rádu -  $MA(q)$

- Woldova reprezentácia:  $x_t = \mu + \sum_{j=0}^{\infty} \psi_j u_{t-j}$   
 $MA(q)$  proces:  $\psi_0 = 1, \psi_1 = -\beta_1, \dots, \psi_q = -\beta_q, \psi_j = 0$   
pre  $j > q \rightarrow MA(q)$  proces je vždy stacionárny
- Momenty, ACF, PACF:

$$E[x_t] = \mu, \quad Var[x_t] = (1 + \beta_1^2 + \dots + \beta_q^2)\sigma^2$$

$$Cov[x_t, x_{t+\tau}] = 0 \quad \text{pre } \tau = q+1, q+2, \dots$$

$$\Rightarrow Cor[x_t, x_{t+\tau}] = 0 \quad \text{pre } \tau = q+1, q+2, \dots$$

# $MA(q)$ proces - definícia a vlastnosti

---

- Výpočet prvých  $q$  autokorelácií (môžeme uvažovať  $\mu = 0$ ):

$$\begin{aligned} Cov[x_t, x_{t+\tau}] &= E[(u_t - \beta_1 u_{t-1} - \dots - \beta_q u_{t-q}) \times \\ &\quad (u_{t+\tau} - \beta_1 u_{t+\tau-1} - \dots - \beta_q u_{t+\tau-q})] \\ &= E[u_t(u_{t+\tau} - \beta_1 u_{t+\tau-1} - \dots - \beta_q u_{t+\tau-q})] \\ &\quad - \beta_1 E[u_{t-1}(u_{t+\tau} - \beta_1 u_{t+\tau-1} - \dots - \beta_q u_{t+\tau-q})] \\ &\quad \dots \\ &\quad - \beta_q E[u_{t-q}(u_{t+\tau} - \beta_1 u_{t+\tau-1} - \dots - \beta_q u_{t+\tau-q})] \end{aligned}$$

# *MA( $q$ ) proces - definícia a vlastnosti*

---

- Výpočet prvých  $q$  autokorelácií - pokračovanie:

$$\tau = 1 \Rightarrow \gamma(1) = (-\beta_1 + \beta_1\beta_2 + \dots + \beta_{q-1}\beta_q)\sigma^2$$

$$\tau = 2 \Rightarrow \gamma(2) = (-\beta_2 + \beta_1\beta_3 + \dots + \beta_{q-2}\beta_q)\sigma^2$$

...

$$\tau = q \Rightarrow \gamma(q) = (-\beta_q)\sigma^2$$

- **PACF** - dosadením vypočítaných autokorelácií do všeobecného vzorca (1)

# MA( $q$ ) proces - definícia a vlastnosti

- Invertovateľnosť:

$$x_t = \mu + u_t - \beta_1 u_{t-1} - \beta_2 u_{t-2} - \dots - \beta_q u_{t-q}$$

$$x_t = \mu + (1 - \beta_1 L - \dots - \beta_q L^q) u_t$$

- Existencia inverzného operátora

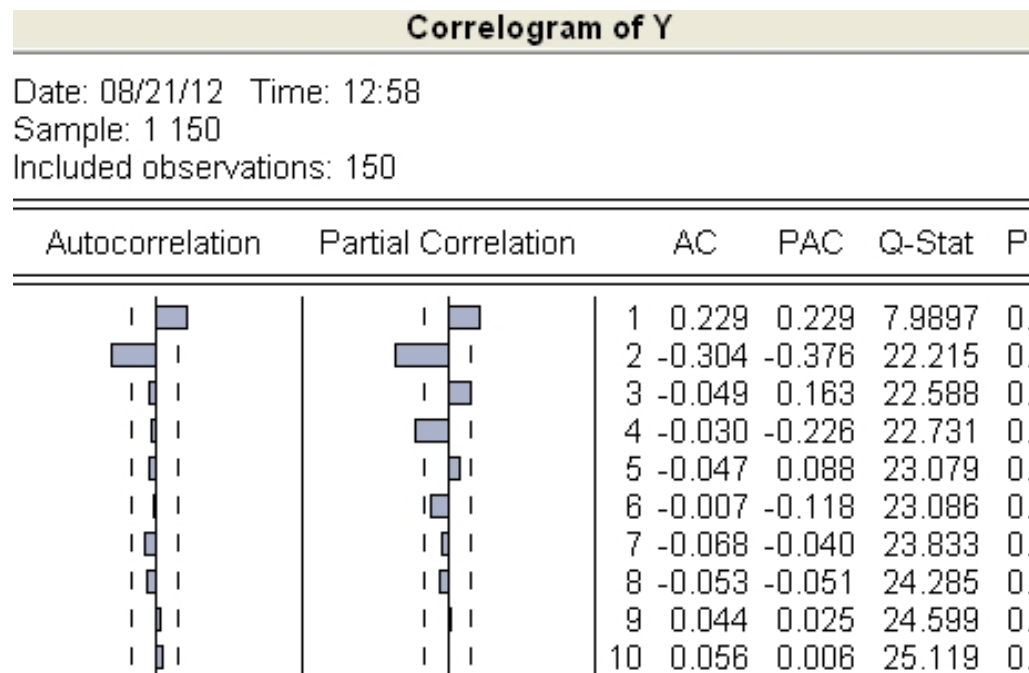
$(1 - \beta_1 L - \dots - \beta_q L^q)^{-1}$  - korene polynómu

$1 - \beta_1 L - \dots - \beta_q L^q = 0$  musia byť mimo jednotkového kruhu

# Príklad 1: simulované dáta

---

- Výberová ACF a PACF z dát:



- PACF nie je po nejakom počte členov nulová → nebude to AR proces
- ACF má prvé dve hodnoty výraznejšie, ostatné skoro nulové → skúsime odhadnúť MA(2) proces

# Príklad 1: simulované dáta

---

- Odhadnutý MA(2) proces:

Dependent Variable: Y  
Method: Least Squares  
Date: 08/21/12 Time: 12:59  
Sample: 1 150  
Included observations: 150  
Convergence achieved after 9 iterations  
MA Backcast: -1 0

	Coefficient	Std. Error	t-Statistic	Prob.
C	0.659055	0.024362	27.05261	0.0000
MA(1)	0.457897	0.074472	6.148559	0.0000
MA(2)	-0.432538	0.074795	-5.782960	0.0000
R-squared	0.272208	Mean dependent var	0.658027	
Adjusted R-squared	0.262306	S.D. dependent var	0.337583	
S.E. of regression	0.289947	Akaike info criterion	0.381560	
Sum squared resid	12.35818	Schwarz criterion	0.441772	
Log likelihood	-25.61697	Hannan-Quinn criter.	0.406022	
F-statistic	27.49037	Durbin-Watson stat	1.979532	
Prob(F-statistic)	0.000000			
Inverted MA Roots	.47	-.93		

- Stacionarita - MA proces je vždy stacionárny
- Invertovateľ'nosť z koreňov - je invertovateľ'ný

# Príklad 1: simulované dáta

---

- ACF rezíduí, Q štatistika - v poriadku:

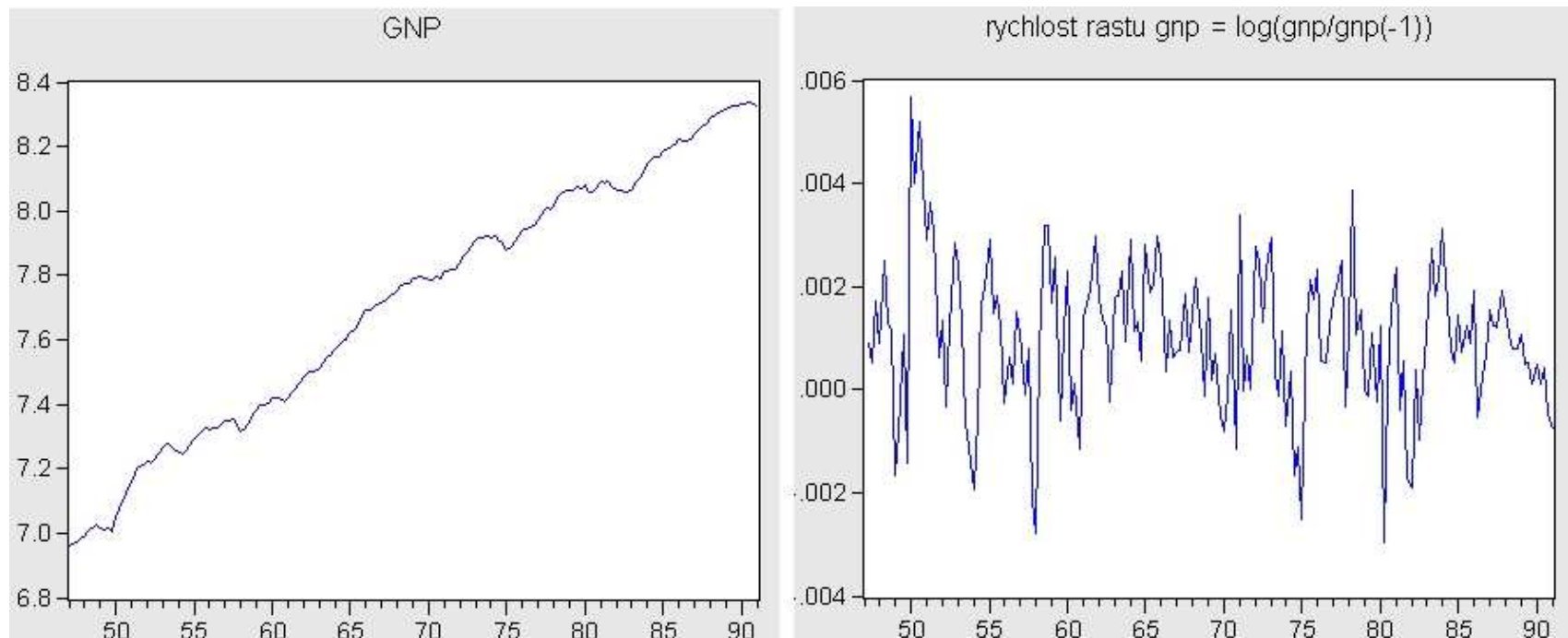
Correlogram of Residuals							
Autocorrelation		Partial Correlation		AC	PAC	Q-Stat	Prob
				1	0.008	0.008	0.0107
				2	0.028	0.028	0.1357
				3	-0.084	-0.085	1.2359 0.266
				4	0.023	0.024	1.3191 0.517
				5	-0.106	-0.103	3.1006 0.376
				6	0.023	0.017	3.1810 0.528
				7	-0.083	-0.076	4.2663 0.512
				8	-0.043	-0.061	4.5646 0.601
				9	0.054	0.068	5.0340 0.656
				10	-0.007	-0.033	5.0420 0.753
				11	0.081	0.082	6.1175 0.728

# Príklad 2: rýchlosť rastu HDP

R.H. Shumway, D.S. Stoffer: **Time Series Analysis and Its Applications**. Springer, 2000.

Example 2.32, 2.33

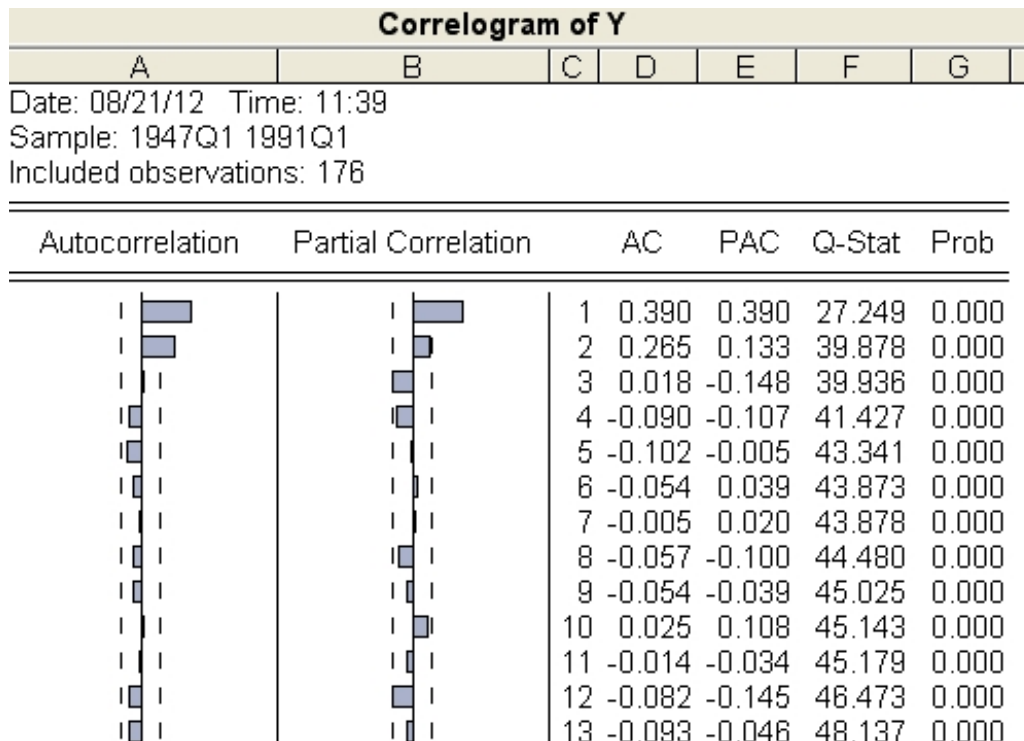
- HNP USA, rýchlosť rastu:  $y_t = \ln(gnp_t/gnp_{t-1})$
- Štvrt'ročné dáta, 19747q1-1991q1, sezónne očitstené



# Príklad 2: rýchlosť rastu HDP

---

- Výberová ACF a PACF:

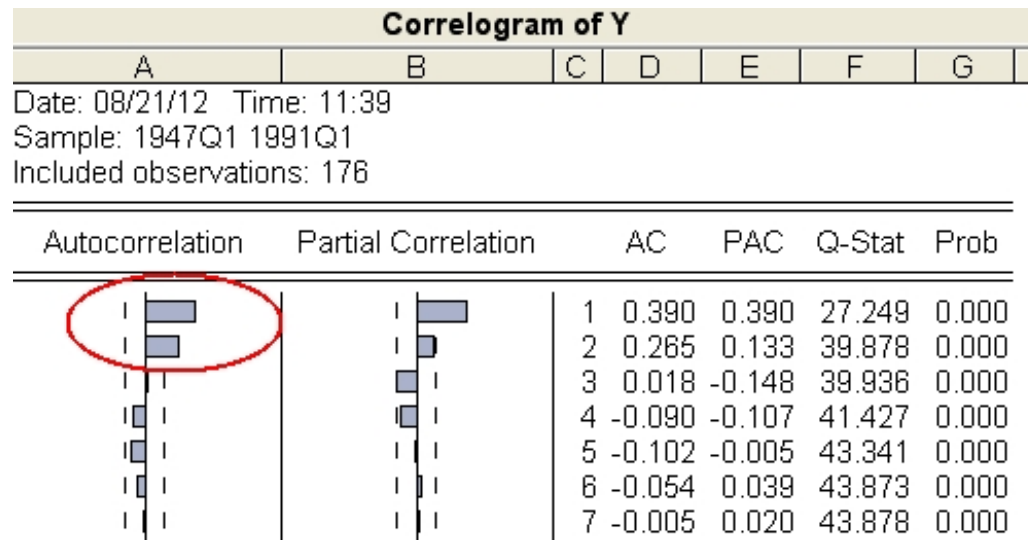


- Nie je to také jednoznačné ako v predchádzajúcich príkladoch

# Príklad 2: rýchlosť rastu HDP

---

- [Shumway, Stoffer; Example 2.32]:  
*"Inspecting the sample ACF and PACF we might feel that the ACF is cutting off a lag 2 and the PACF is tailing off"*

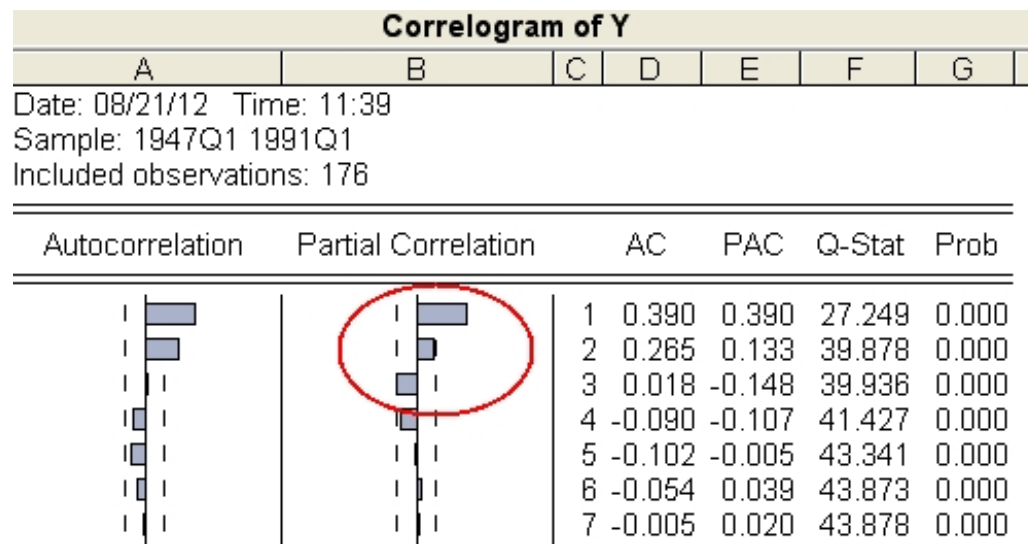


- To by znamenalo MA(2) model

# Príklad 2: rýchlosť rastu HDP

---

- Ale tiež [Shumway, Stoffer; Example 2.32]:  
*"We will also suggest that it appears that the ACF is tailing off and the PACF is cutting off at lag 3"*



- To by znamenalo AR(3) model
- Odhadneme oba modely.

# Príklad 2: rýchlosť rastu HDP

---

- MA(2) model - výstup:

Dependent Variable: Y  
Method: Least Squares  
Date: 08/21/12 Time: 11:40  
Sample (adjusted): 1947Q2 1991Q1  
Included observations: 176 after adjustments  
Convergence achieved after 10 iterations  
MA Backcast: 1946Q4 1947Q1

	Coefficient	Std. Error	t-Statistic	Prob.
C	0.001009	0.000157	6.443225	0.0000
MA(1)	0.319143	0.073009	4.371266	0.0000
MA(2)	0.286871	0.073115	3.923554	0.0001
R-squared	0.180811	Mean dependent var	0.001015	
Adjusted R-squared	0.171341	S.D. dependent var	0.001424	
S.E. of regression	0.001296	Akaike info criterion	-10.44236	
Sum squared resid	0.000291	Schwarz criterion	-10.38832	
Log likelihood	921.9276	Hannan-Quinn criter.	-10.42044	
F-statistic	19.09224	Durbin-Watson stat	1.933744	
Prob(F-statistic)	0.000000			
Inverted MA Roots	-.16+.51i	-.16-.51i		

# Príklad 2: rýchlosť rastu HDP

- MA(2) model - rezíduá:

Correlogram of Residuals							
A	B	C	D	E	F	G	
Date: 08/21/12 Time: 11:40							
Sample: 1947Q2 1991Q1							
Included observations: 176							
Q-statistic probabilities adjusted for 2 ARMA term(s)							
Autocorrelation	Partial Correlation	AC	PAC	Q-Stat	Prob		
		1 0.030	0.030	0.1628			
		2 0.025	0.024	0.2721			
		3 0.059	0.057	0.8977	0.343		
		4 -0.079	-0.084	2.0477	0.359		
		5 -0.105	-0.104	4.0685	0.254		
		6 -0.003	0.003	4.0702	0.397		
		7 0.067	0.085	4.9080	0.427		
		8 -0.073	-0.073	5.9045	0.434		
		9 -0.080	-0.101	7.0924	0.419		
		10 0.087	0.080	8.5233	0.384		
		11 0.013	0.040	8.5555	0.479		
		12 -0.081	-0.081	9.8122	0.457		
		13 -0.032	-0.077	10.008	0.530		
		14 -0.070	-0.073	10.943	0.534		
		15 -0.061	-0.008	11.666	0.555		
		16 0.040	0.055	11.973	0.608		
		17 0.054	0.011	12.549	0.637		

- CVIČENIE: stacionarita, invertovateľnosť, autokorelácia rezíduí → je model výhovujúci?

# Príklad 2: rýchlosť rastu HDP

---

- AR(3) model - výstup:

Dependent Variable: Y  
Method: Least Squares  
Date: 08/21/12 Time: 11:41  
Sample (adjusted): 1948Q1 1991Q1  
Included observations: 173 after adjustments  
Convergence achieved after 3 iterations

	Coefficient	Std. Error	t-Statistic	Prob.
C	0.001006	0.000165	6.099658	0.0000
AR(1)	0.362642	0.076142	4.762707	0.0000
AR(2)	0.186458	0.079817	2.336061	0.0207
AR(3)	-0.150362	0.076362	-1.969069	0.0506
R-squared	0.188922	Mean dependent var	0.001015	
Adjusted R-squared	0.174524	S.D. dependent var	0.001434	
S.E. of regression	0.001303	Akaike info criterion	-10.42509	
Sum squared resid	0.000287	Schwarz criterion	-10.35218	
Log likelihood	905.7701	Hannan-Quinn criter.	-10.39551	
F-statistic	13.12154	Durbin-Watson stat	2.024327	
Prob(F-statistic)	0.000000			
Inverted AR Roots	.45+.29i	.45-.29i	-.53	

# Príklad 2: rýchlosť rastu HDP

---

- AR(3) model - rezíduá:

Correlogram of Residuals						
A	B	C	D	E	F	G
Date: 08/21/12 Time: 11:41						
Sample: 1948Q1 1991Q1						
Included observations: 173						
Q-statistic probabilities adjusted for 3 ARMA term(s)						
Autocorrelation	Partial Correlation	AC	PAC	Q-Stat	Prob	
		1 -0.015	-0.015	0.0403		
		2 0.009	0.009	0.0556		
		3 0.049	0.050	0.4879		
		4 -0.089	-0.088	1.8968	0.168	
		5 -0.050	-0.053	2.3387	0.311	
		6 0.001	-0.001	2.3389	0.505	
		7 0.066	0.077	3.1285	0.537	
		8 -0.062	-0.064	3.8331	0.574	
		9 -0.107	-0.123	5.9386	0.430	
		10 0.088	0.080	7.3911	0.389	
		11 0.016	0.045	7.4368	0.490	
		12 -0.076	-0.077	8.5313	0.482	
		13 -0.026	-0.072	8.6616	0.564	
		14 -0.076	-0.078	9.7699	0.551	
		15 -0.057	-0.024	10.395	0.581	
		16 0.046	0.055	10.799	0.628	
		17 0.047	0.013	11.227	0.668	
		18 0.061	0.038	11.951	0.683	

- CVIČENIE: stacionarita, invertovateľnosť, autokorelácia rezíduí → je model výhovujúci?

# Príklad 2: rýchlosť rastu HDP

---

- Otázky k odhadnutým modelom:
  1. *Ako môžeme mať pre dátu dva rôzne modely - MA(2) a AR(3)?*  
Nie sú "až tak rôzne" - čiastočne ukážeme teraz, čiastočne na teoretickom cvičení.
  2. *Nedajú sa AR a MA členy skombinovať?*  
Dajú, dostaneme tak ARMA modely → ďalšia téma prednášok.
  3. *Ako si teda vybrať model?*  
Týmto sa budeme zaoberať na praktickom cvičení pri počítači.

# Príklad 2: rýchlosť rastu HDP

---

- K otázke "podobnosti získaných AR(3) a MA(2) procesov":
  - ◊ oba procesy sú stacionárne → dajú sa napísat' v tvare Woldovej reprezentácie  $x_t = \mu + \sum_{j=0}^{\infty} \psi_j u_{t-j}$
  - ◊ MA(2) proces v tom tvare už je:  $\psi_0 = 1$ ,  $\psi_1 = 0.319143$ ,  $\psi_2 = 0.286871$ , ostatné  $\psi_k = 0$
  - ◊ AR(3) proces sa dá transformovať
- Nájdenie Woldovej reprezentácie procesu:
  - ◊ výpočet na teoretickom cvičení
  - ◊ teraz výsledok získaný pomocou R-ka: príkaz **ARMAtoMA** z balíka **stats**

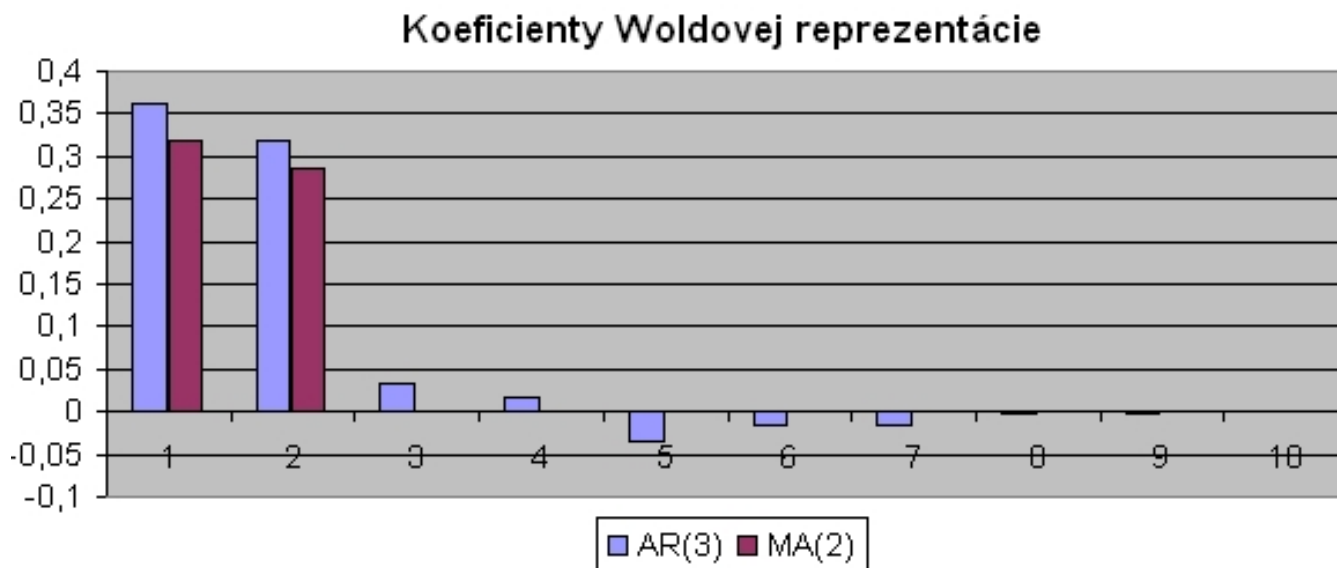
# Príklad 2: rýchlosť rastu HDP

---

- AR(3) model - koeficienty Woldovej reprezentácie:

```
> ARMAtoMA(ar=c(0.362642, 0.186458, -0.150362), lag.max=10)
[1] 0.362642000 0.317967220 0.032563771 0.016568946 -0.035729816
[6] -0.014764073 -0.014507523 -0.002641510 -0.001443011 0.001165553
```

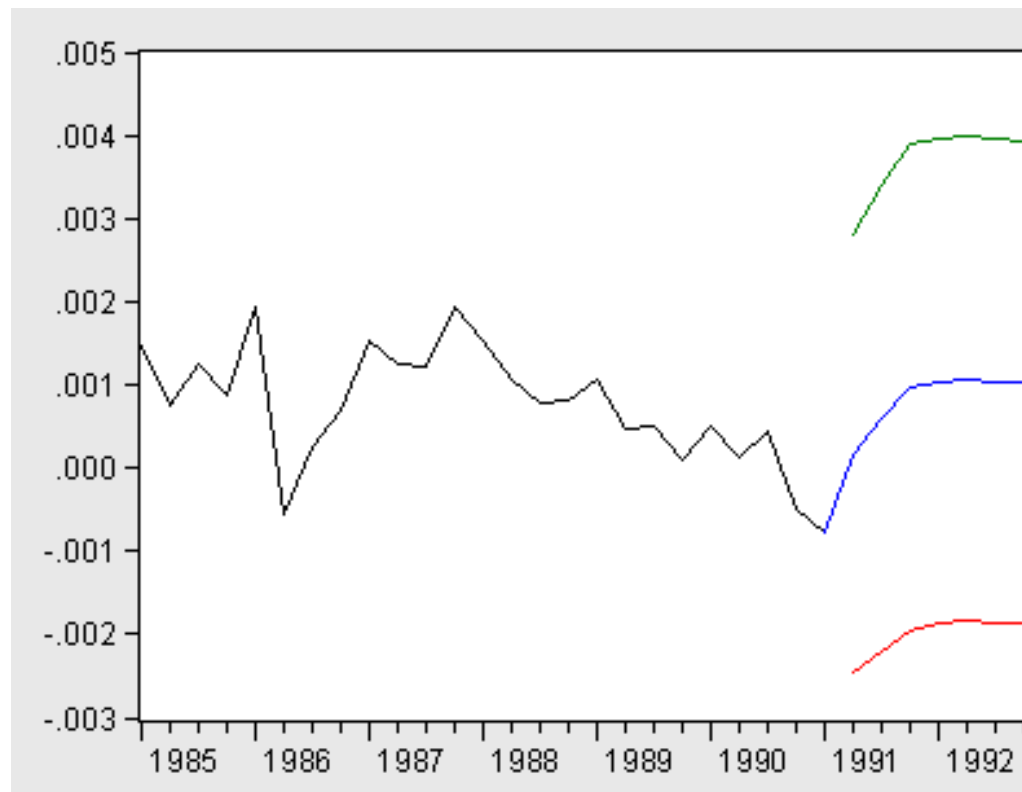
- Porovnanie MA(2) a AR(3) modelu:



## Príklad 2: rýchlosť rastu HDP

---

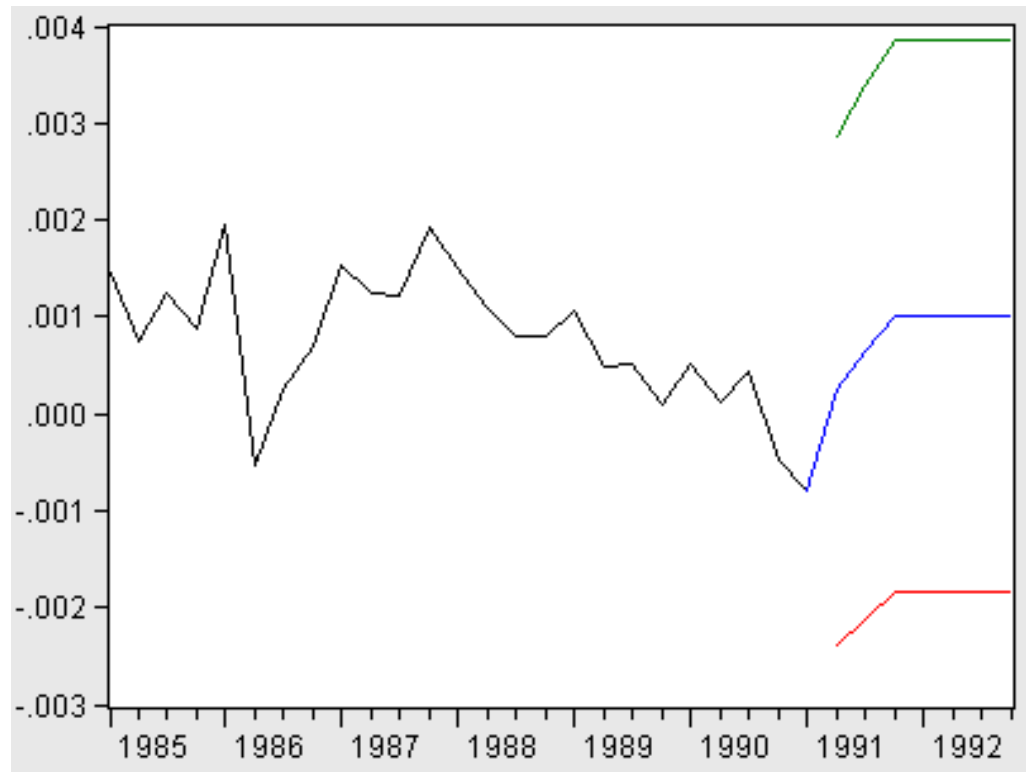
- Predikcie v AR(3) modeli:



## Príklad 2: rýchlosť rastu HDP

---

- Predikcie v MA(2) modeli:



# Predikcie v MA modeli

---

- MA(q) model:

$$x_t = \mu + u_t - \beta_1 u_{t-1} - \beta_2 u_{t-2} - \dots - \beta_q u_{t-q}$$

- Ak by sme predikcie robili tak, že hodnoty bieleho šumu  $u$  by sme nahradili nulou, tak predikcie
  - ◊ by nezáviseli od MA koeficientov  $\beta_1, \beta_2, \dots$
  - ◊ by boli konštantné
- Z predchádzajúceho obrázku → takto sa to nerobí
- Ako teda: už realizované hodnoty  $u$  nenahradíme nulou, ale ich odhadneme z pozorovaných dát  $x$

# Predikcie - všeobecne

---

- Sme v čase  $t$ , chceme predikciu hodnoty  $x_{t+\tau}$ , t. j. hodnotu procesu o  $\tau$  období.
- Označme túto predikciu  $\hat{x}_t(\tau)$ , teda
  - ◊ index  $t$  označuje čas, v ktorom konštruujeme predikciu
  - ◊ argument  $\tau$  označuje, na kol'ko období dopredu tá predikcia je
- Predikciou bude očakávaná hodnota procesu v tom čase, pri danej informácii, ktorú máme k dispozícii:

$$\hat{x}_t(\tau) = E_t[x_{t+\tau}]$$

(index  $t$  vo výraze  $E_t$  znamená, že strednú hodnotu počítame v čase  $t$ )

# Predikcie pre AR proces

---

- AR proces: takto počítané predikcie sa zhodujú s intuíciou.
- Majme AR(p) proces

$$x_t = \delta + \alpha_1 x_{t-1} + \dots + \alpha_p x_{t-p} + u_t.$$

Potom:

$$\begin{aligned} x_{t+\tau} &= \delta + \alpha_1 x_{t+\tau-1} + \dots + \alpha_p x_{t+\tau-p} + u_{t+\tau}, \\ \underbrace{E_t[x_{t+\tau}]}_{\hat{x}_t(\tau)} &= \delta + \alpha_1 E_t[x_{t+\tau-1}] + \dots + \alpha_p E_t[x_{t+\tau-p}] \\ &\quad + \underbrace{E_t[u_{t+\tau}]}_0 \end{aligned}$$

pričom

$$E_t[x_{t+s}] = \begin{cases} \hat{x}_t(s) & \text{pre } s > 0 \\ x_{t+s} & \text{pre } s \leq 0 \end{cases}$$

# Predikcie pre MA proces

---

- Majme MA(1) proces

$$x_t = \mu + u_t - \beta u_{t-1}$$

a počítajme predikcie  $\hat{x}_t(\tau)$ :

$$\begin{aligned} x_{t+s} &= \mu + u_{t+s} - \beta u_{t+s-1}, \\ \underbrace{E_t[x_{t+s}]}_{\hat{x}_t(s)} &= \mu + \underbrace{E_t[u_{t+s}]}_0 - \beta \underbrace{E_t[u_{t+s-1}]}_{u_t \text{ pre } s=1, \text{ inak } 0} \end{aligned}$$

Teda:

$$\hat{x}_t(s) = \begin{cases} \mu - \beta u_t & \text{pre } s = 1 \\ \mu & \text{pre } s = 2, 3, \dots \end{cases}$$

- CVIČENIE: Dokážte, že pre MA(q) proces platí  $\hat{x}_t(s) = \mu$  pre  $s > q$  a že pre  $s \leq q$  predikcie obsahujú realizované hodnoty bieleho šumu  $u$

# Predikcie pre MA proces

---

- Predikcie pre MA(1) proces  $x_t = \mu + u_t - \beta u_{t-1}$  sú

$$\hat{x}_t(s) = \begin{cases} \mu - \beta u_t & \text{pre } s = 1 \\ \mu & \text{pre } s = 2, 3, \dots \end{cases}$$

- obsahujú hodnotu bieleho šumu  $u_t$ . Táto hodnota už bola v čase konštrukcie predikcií realizovaná, nie sme však schopní ju pozorovať.

- Cvičenie z predch. slajdu  $\Rightarrow$  podobná situácia nastáva pre ľubovoľný MA(q) proces
- Ako prakticky počítať predikcie?  
Myšlienka: vyjadríme  $u_t$  pomocou hodnôt procesu  $x$
- Tento výpočet si ukážeme na MA(1) procese

# Predikcie pre MA(1) proces

---

- Vyjadrujeme teda  $u_t$  pomocou  $x_1, x_2, \dots, x_t$
- Využijeme pritom:

◊ Pre MA(1) sme odvodili

$$(2) \quad \hat{x}_t(1) = \mu - \beta u_t$$

◊ Pre predikčnú chybu platí

$$(3) \quad x_t - \hat{x}_{t-1}(1) = u_t$$

- Budeme postupne počítat'  $\hat{x}_t(1)$  pre  $t = 0, 1, 2, \dots$

$$(4) \quad \hat{x}_0(1) \stackrel{(2)}{=} \mu - \beta u_0$$

# Predikcie pre MA(1) proces

---

- Pre  $t = 1$ :

$$\begin{aligned}\hat{x}_1(1) &\stackrel{(2)}{=} \mu - \beta u_1 \\ &\stackrel{(3)}{=} \mu - \beta[x_1 - \hat{x}_0(1)] \\ &\stackrel{(4)}{=} \mu - \beta[x_1 - (\mu - \beta u_0)] \\ (5) \quad &= \mu(1 + \beta) - \beta x_1 - \beta^2 u_0\end{aligned}$$

- Pre  $t = 2$ :

$$\begin{aligned}\hat{x}_2(1) &\stackrel{(2)}{=} \mu - \beta u_2 \\ &\stackrel{(3)}{=} \mu - \beta[x_2 - \hat{x}_1(1)] \\ &\stackrel{(5)}{=} \mu - \beta[x_2 - (\mu(1 + \beta) - \beta x_1 - \beta^2 u_0)] \\ (6) \quad &= \mu(1 + \beta + \beta^2) - \beta x_2 - \beta^2 x_1 - \beta^3 u_0\end{aligned}$$

# Predikcie pre MA(1) proces

---

- Pre všeobecné  $t$ :

$$\begin{aligned}\hat{x}_t(1) &= \mu(1 + \beta + \beta^2 + \dots \beta^t) \\ &\quad - \beta x_t - \beta^2 x_{t-1} - \dots - \beta^t x_1 - \beta^{t+1} u_0\end{aligned}$$

- Aj tu vystupuje nepozorovateľná hodnota  $u_0$ , ale vplyv člena  $\beta^{t+1} u_0$  ide k nule pre  $t \rightarrow \infty$  (kde  $t$  je počet dát)  
⇒ môžeme ho zanedbať
- Dostaneme:

$$\begin{aligned}\hat{x}_t(1) &= \mu(1 + \beta + \beta^2 + \dots \beta^t) \\ &\quad - \beta x_t - \beta^2 x_{t-1} - \dots - \beta^t x_1\end{aligned}$$

- Ako sme už povedali,  $\hat{x}_t(s) = \mu$  pre  $s = 2, 3, \dots$